

Modellierung und Simulation strahlengeschädigter Silizium-Sensoren

Jörn Schwandt und Robert Klanner

Institut für Experimentalphysik
Universität Hamburg

DPG-Frühjahrstagung 2011
T63.2

Einleitung

- Die Herausforderungen zukünftiger Silizium-Sensoren in Bezug auf Strahlenhärte:
 - I. **HL-LHC** : $\Phi_{eq} = 2 * 10^{16} n_{eq}/cm^2$ in der innersten Pixellage, Dosis $\sim 4.2\text{MGy}$
→ **Bulk-Defekte + Oberflächendefekte**
 2. **European-XFEL**: Dosis bis 1GGy bei 3 Jahren kontinuierliche Operation
→ **Oberflächendefekte**

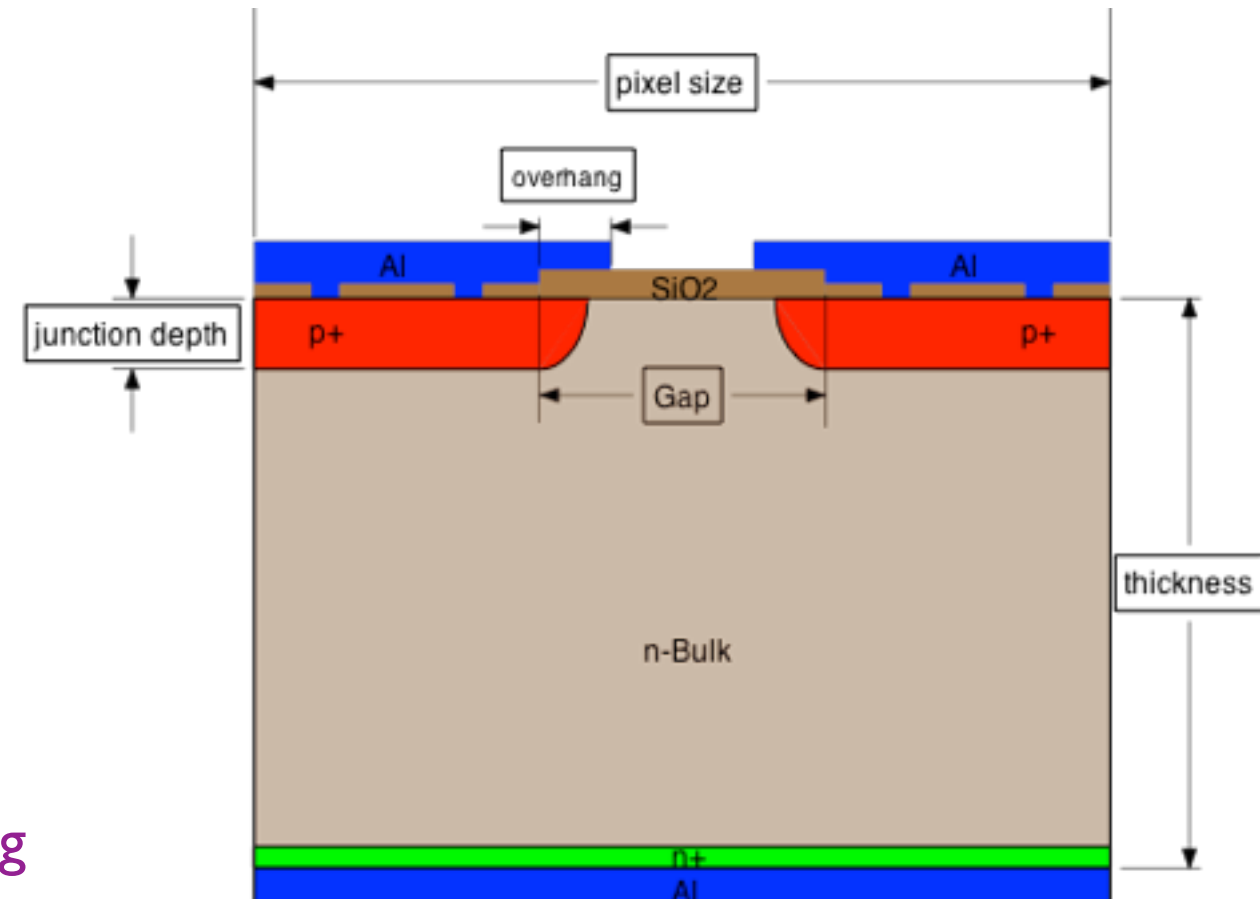
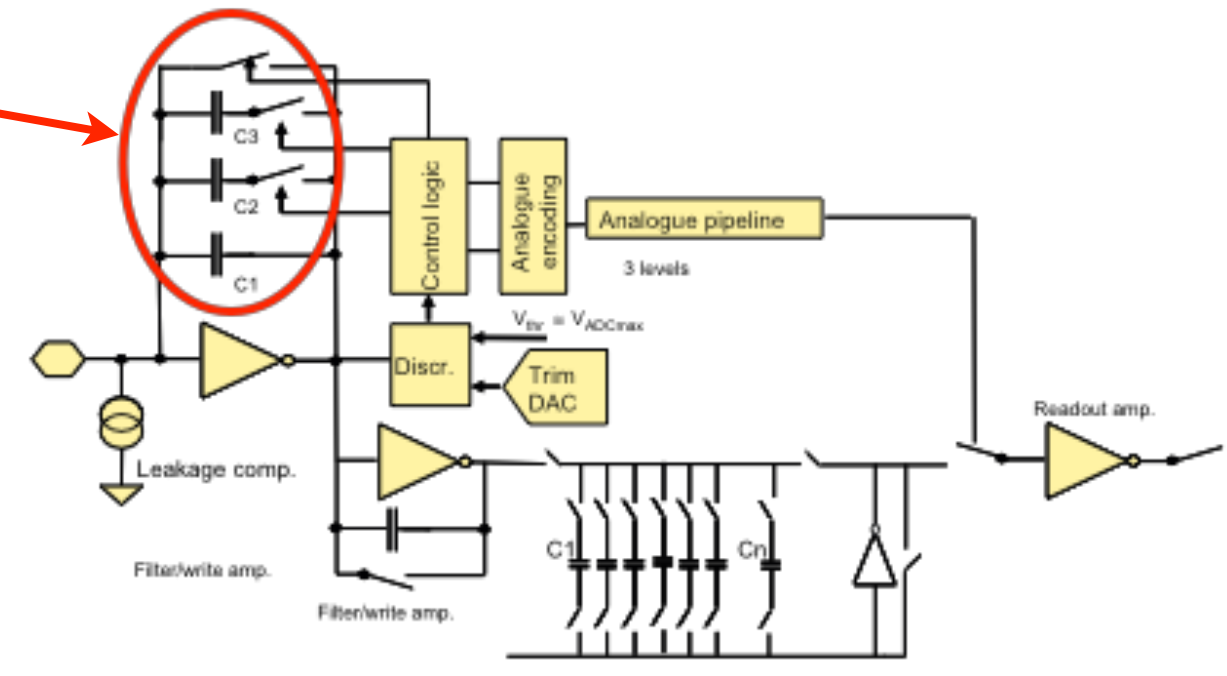
⇒ Deutliche Zunahme der Strahlenbelastung der Sensoren
⇒ Entwicklung neuer, strahlenharter Sensoren notwendig
- TCAD Simulation sind hilfreich beim:
 1. Verständnis des elektrischen Verhaltens
 2. Sensoroptimierung
 3. Sensordesign
- Im Folgendem werden wir erste 2D Sensoroptimierungen eines Röntgendetektors beschreiben.

AGIPD

- AGIPD (Adaptive Gain Integrating Pixel Detector) für European-XFEL

- Festgelegte Parameter des Pixel-Sensors:

Parameter	Spezifikation
Dicke	500µm
Pixelgröße	200µm x 200µm
Art	p+ n
Resistivity	~5kΩ · cm
V_fd	< 200V
V_op	500V
C_int	< 0.5pF
I_leak	< 10 nA/pixel



- Durch Optimierung zu bestimmen:
 - Gap
 - Metalüberhang
 - Krümmungsradien der Implantfenster
 - Guardringstruktur

- Problem: Oberflächendefekte + Oxidladung

TCAD

- TCAD (Technology Computer Aided Design)

1. Design → GDS-Files

2. Prozess-Simulation (Oxidation, Ion-Implantation, Diffusion etc.) → Dotierungsprofile

3. Device-Simulation → elektrisches Verhalten

Zumeist: Drift-Diffusion-Model

Poissonsche Gl.: $\nabla \cdot \epsilon \nabla V = -(p - n + N_D - N_A) - \rho_{trap}$ ← Traps

Kontinuitätsgl. $\frac{\partial n}{\partial t} = \frac{1}{q} \nabla \cdot J_n + R_{net}$ mit $J_n = qn\mu_n E + qD_n \frac{dn}{dx}$

$$\frac{\partial p}{\partial t} = -\frac{1}{q} \nabla \cdot J_p + R_{net}$$
 mit $J_p = qp\mu_p E - qD_p \frac{dp}{dx}$

gesamte Rekombinationsrate

- Das Gleichungssystem wird auf einem Gitter und Randbedingungen gelöst.
- Verschiedene physikalische Modelle für die Mobilität, Bandgap, Generation- und Rekombinationsraten, Ladungsträgergeneration (Laser, Heavy-Ion) können gewählt werden.
- Defekte tragen gemäß der Shockley-Read-Hall Statistik zur gesamten Rekombinationsrate und je nach Ladungszustand zur gesamten Ladung bei.

Strahlenschäden(IEL) im Oxid

- Effekte durch ionisierende Strahlung (X-Rays, geladene Teilchen)

1. e-h Paarerzeugung
2. Löchertransport
 - die meisten e-h Paare rekombinieren
 - Elektronen entweichen
3. Löcher werden am SiO₂-Si Interface eingefangen (feste Oxidladung): Nox
4. Bildung von Interfacezuständen: Nit

- Interfacetraps:

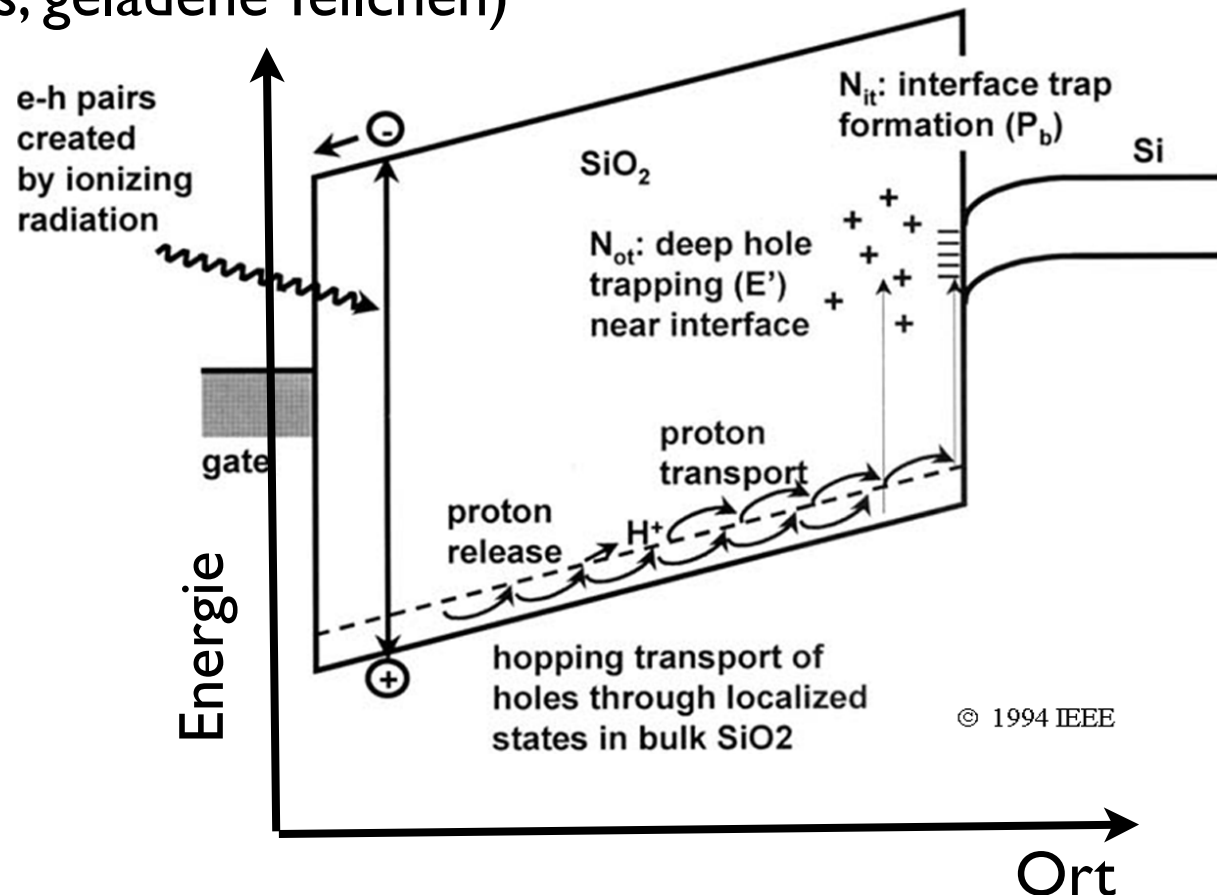
- Sind in der Bandlücke verteilt.
- Ladungszustand hängt von der Fermi-Energie ab.

- Oberflächenstrom: $I_s \cong \frac{q s_0 n_i A_s}{2}$

mit $s_0 = \sigma v_{th} N_{it}$ Oberflächenrekombinationsgeschwindigkeit

und A_s verarmte Oberfläche → Oberfläche mit E-Feld

- ⇒ I. Höhere pos. Oxidladung
II. Höherer Dunkelstrom

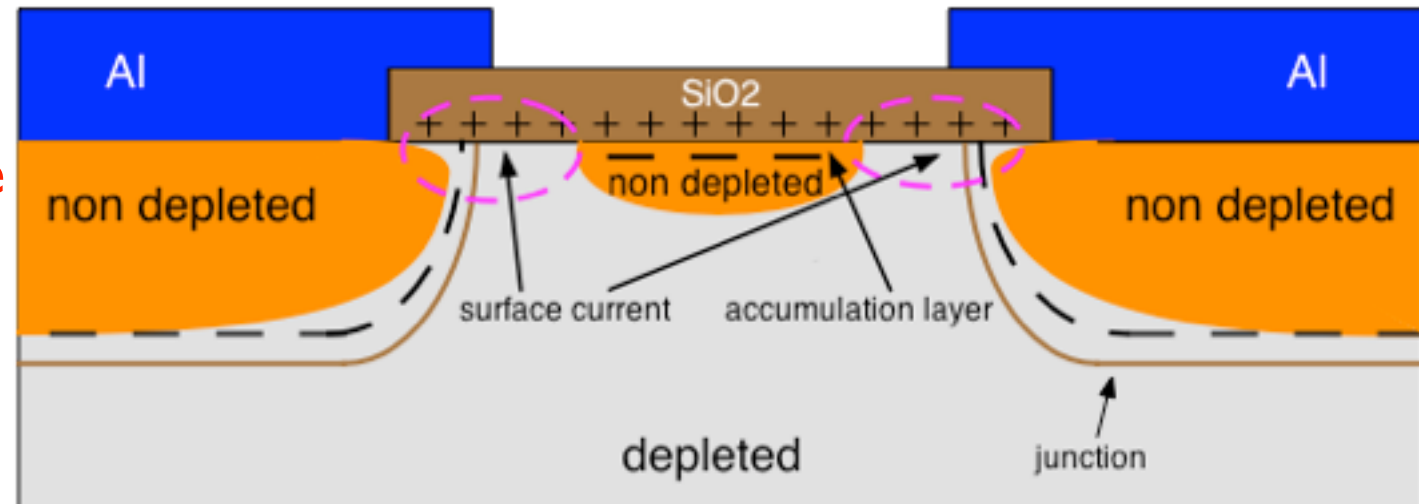


- Messwerte von gated diodes:

Dosis [MGy]	Nox [cm^{-2}]	$S_0[\text{cm/s}]$
0	1.0E+11	8
0.1	1.3E+12	3.5E+03
1	2.1E+12	7.5E+03
10	2.8E+12	1.2E+04
100	2.9E+12	1.0E+04

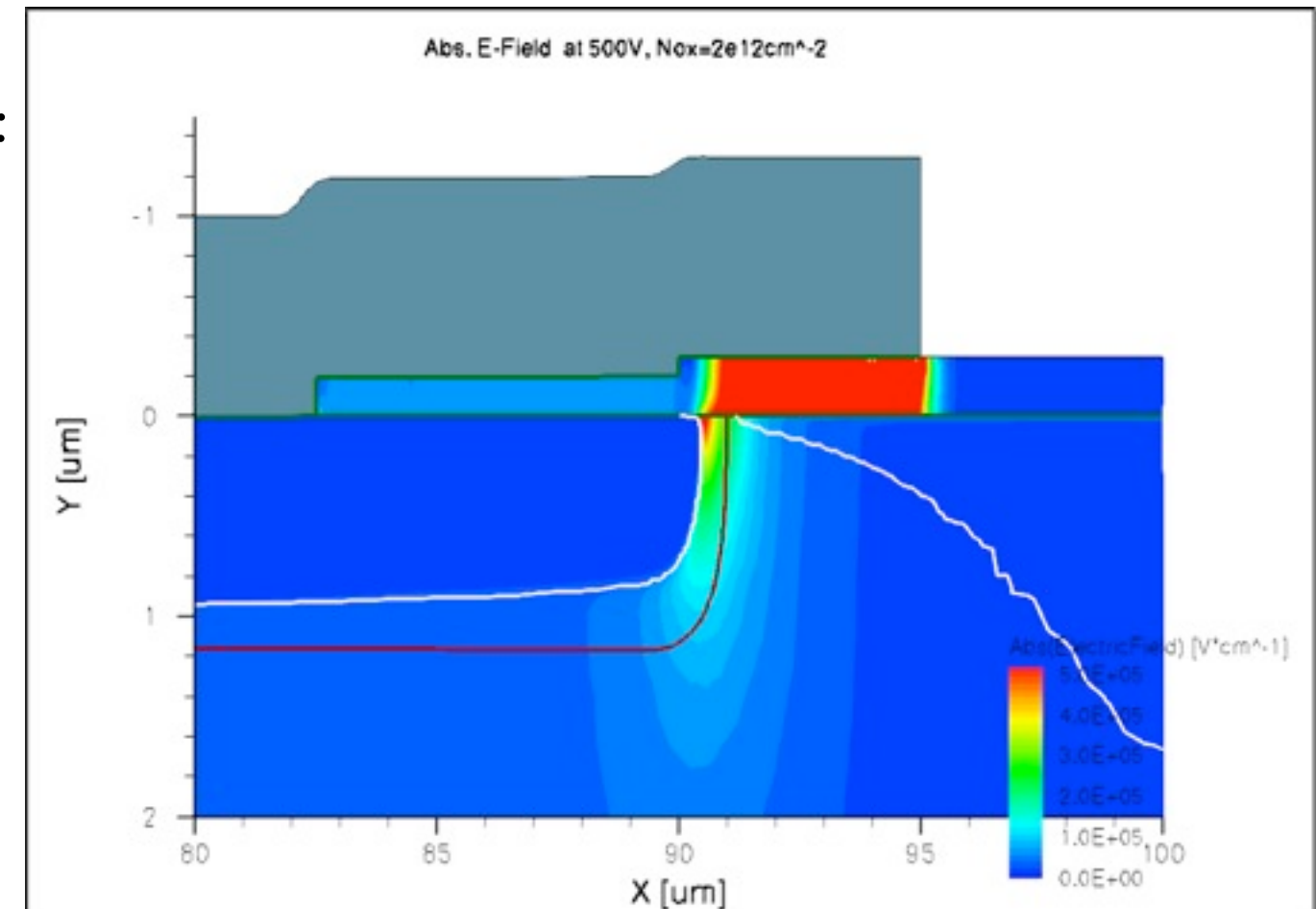
Oxidladung

- pos. Oxidladung im p-n Sensor:
- starke Krümmung der Verarmungszone
 - hohe elektrische Felder
 - niedrige Durchbruchsspannung
- neg. geladene Akkumulationsschicht
 - nicht vollständige Verarmung
 - Ladungsverluste



- Für eine genaue Simulation brauchen wir:
 1. OxidladungsdichteVerteilung
 2. Oberflächenrekombinationsgeschw.
 3. Oxiddicke
 4. Realistische Dotierungsprofile
- Woher bekommen wir die Dotierungsprofile?

Prozesssimulation ↔ SIMS*



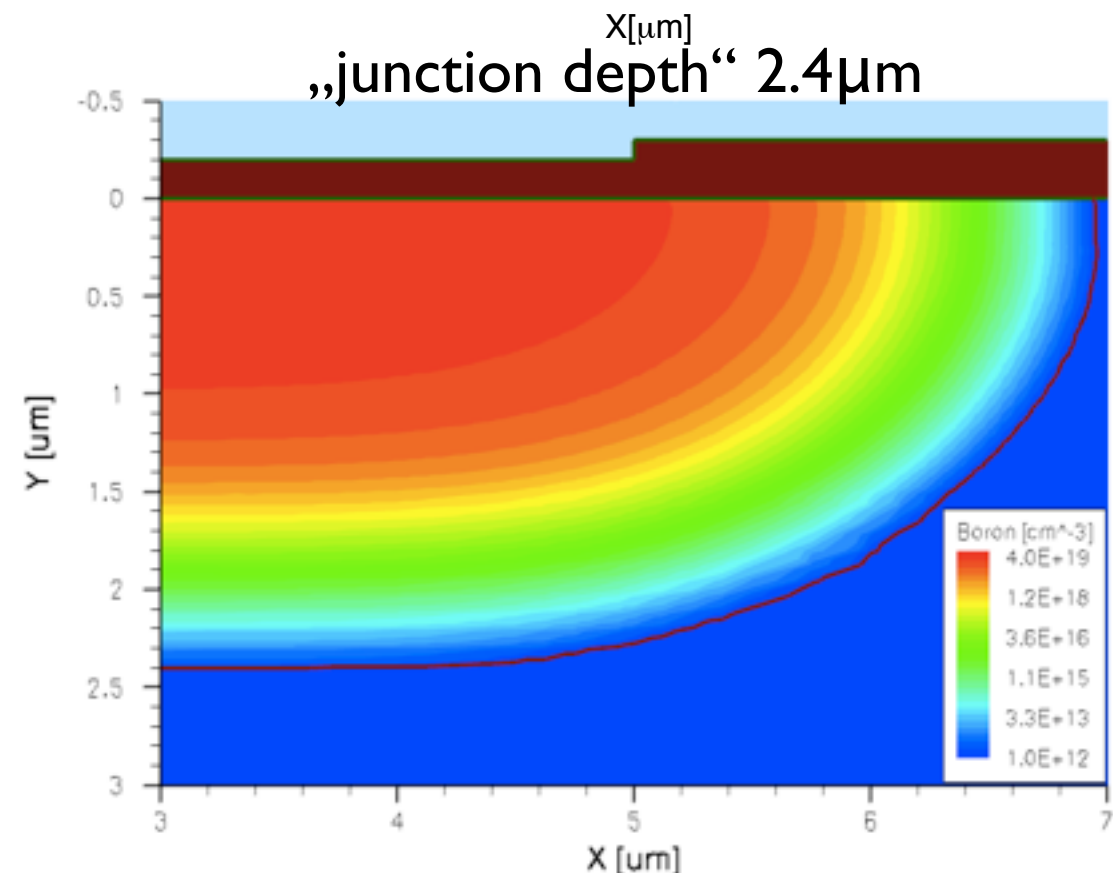
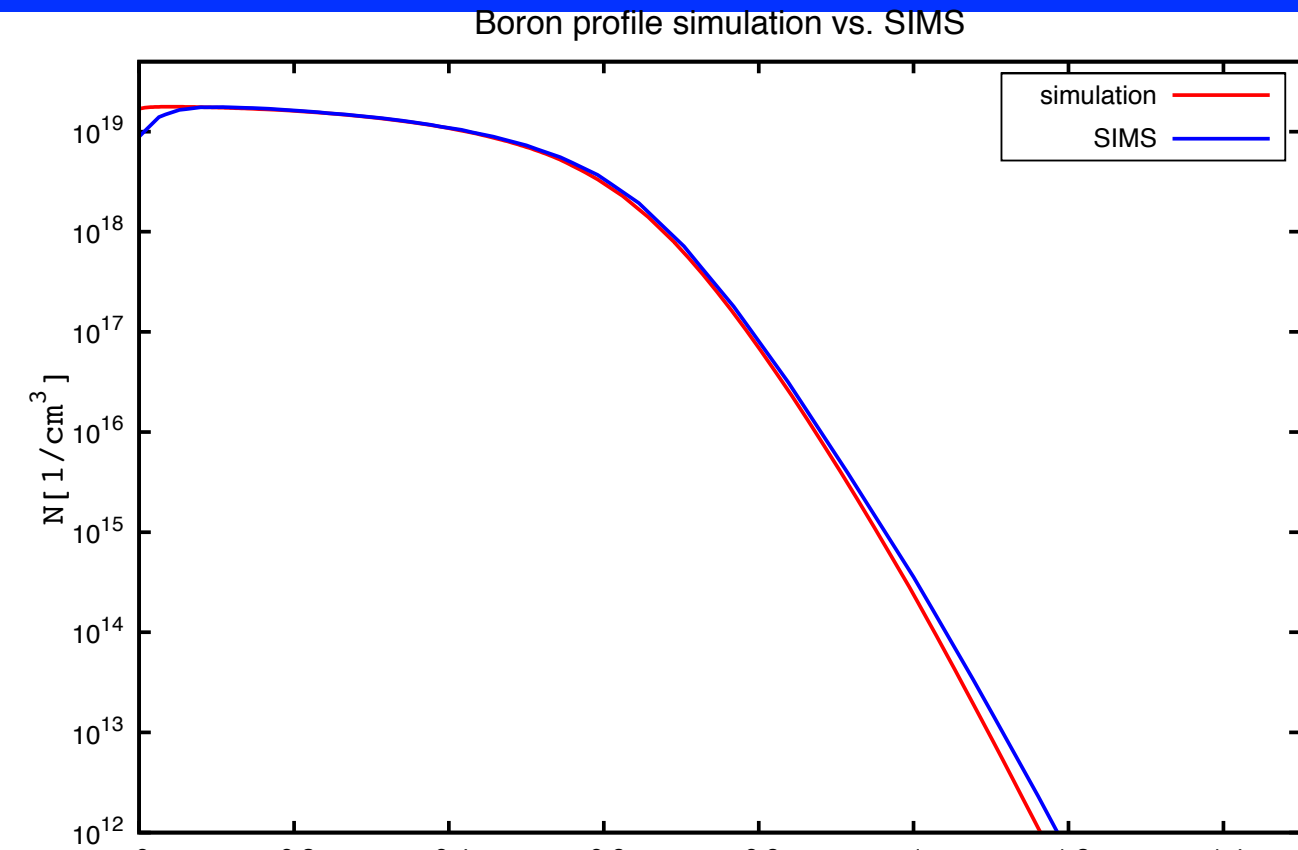
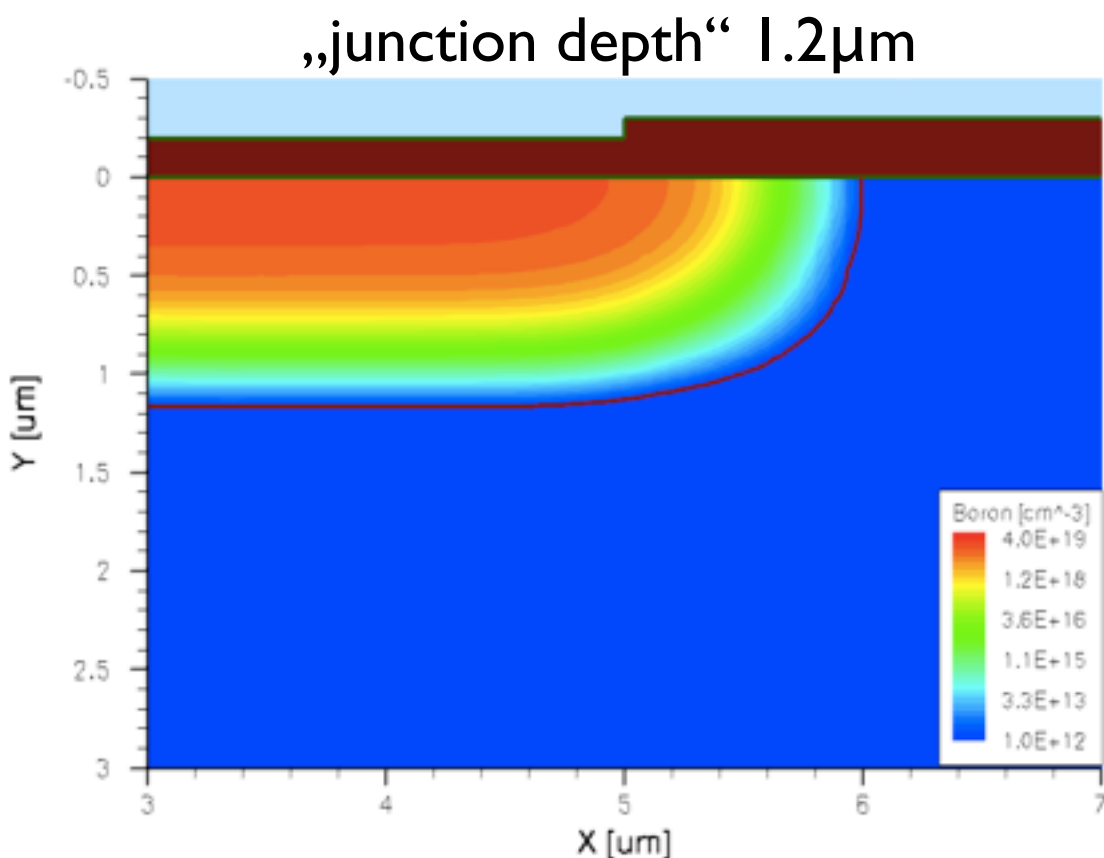
* Secondary ion mass spectrometry

Prozess-Simulation

- Implantation:

Wafer dop	P 1E12[cm ⁻³]
Orientation	(1 1 1)
Tilt angle	0°
Species	Boron
Dosis	1E15[cm ⁻²]
Energy	70keV

- Diffusion: 975°C
- Simulation mittels SIMS kalibriert.
- Standardprozess: „junction depth“ 1.2µm

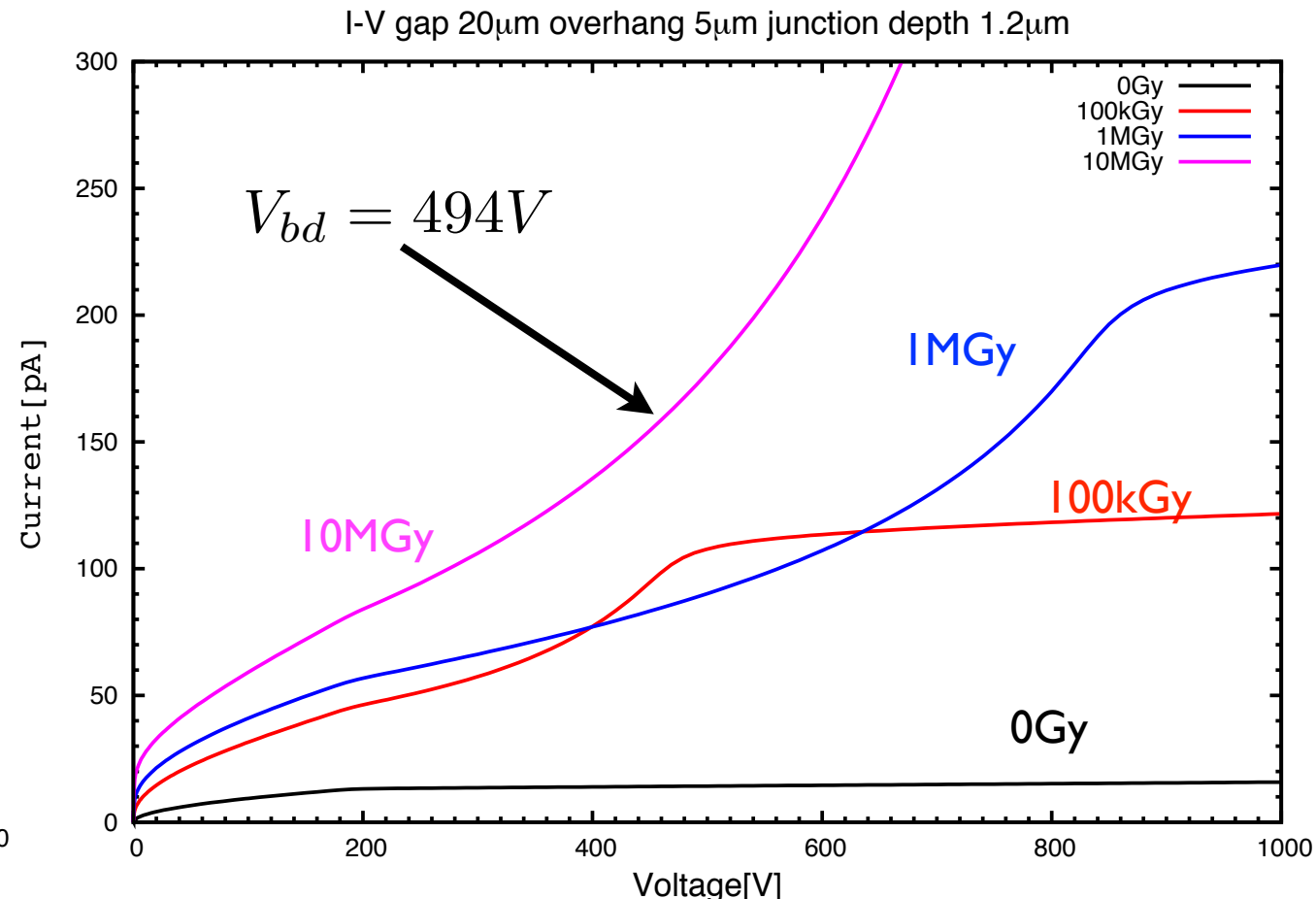
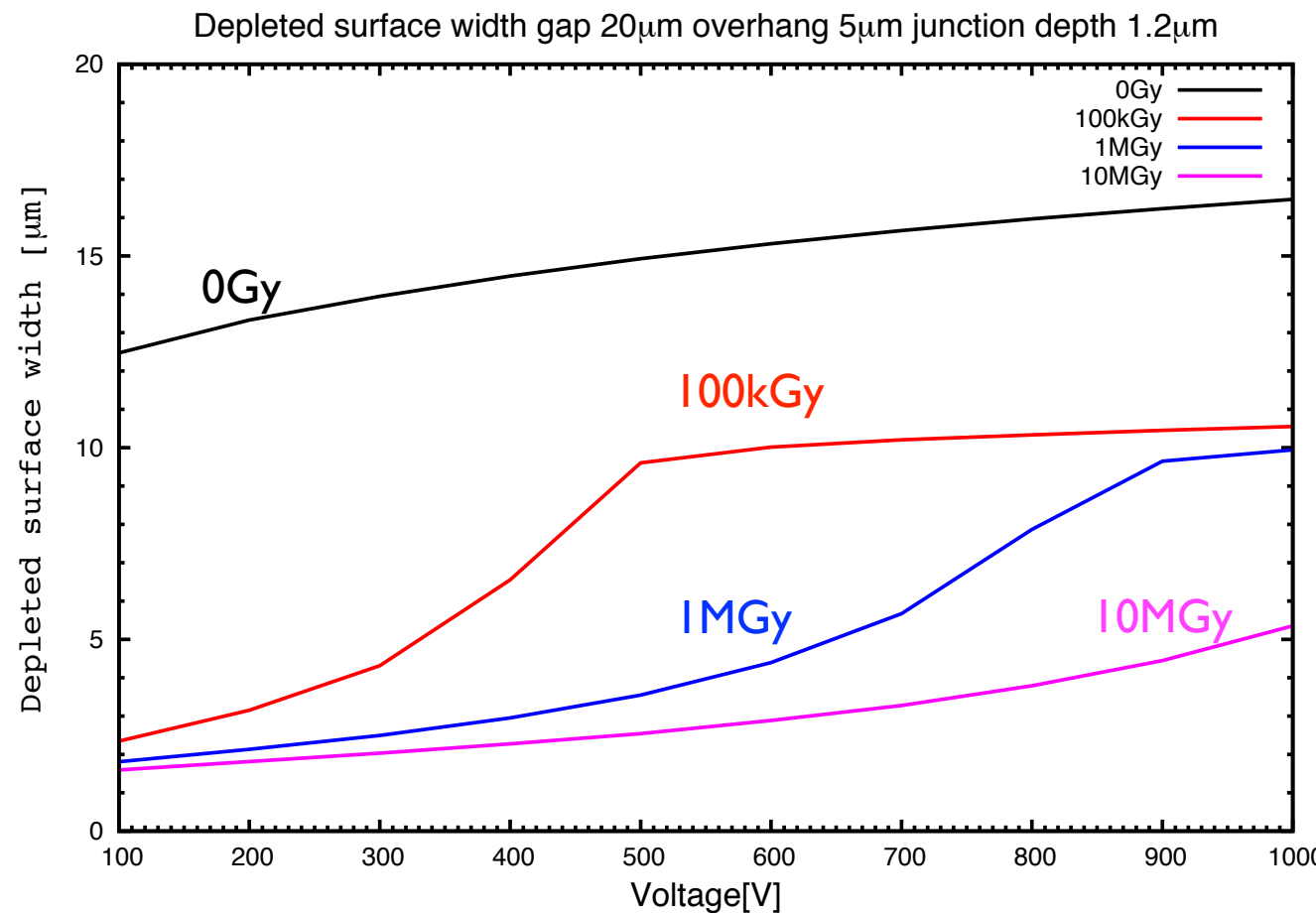


Device-Simulation I

- Simulierte Geometrie:
- Oxiddicke: 300nm

gap [um]	20	30	40
overhang [um]	0, 2.5, 5	5, 10	0, 2.5, 5, 10

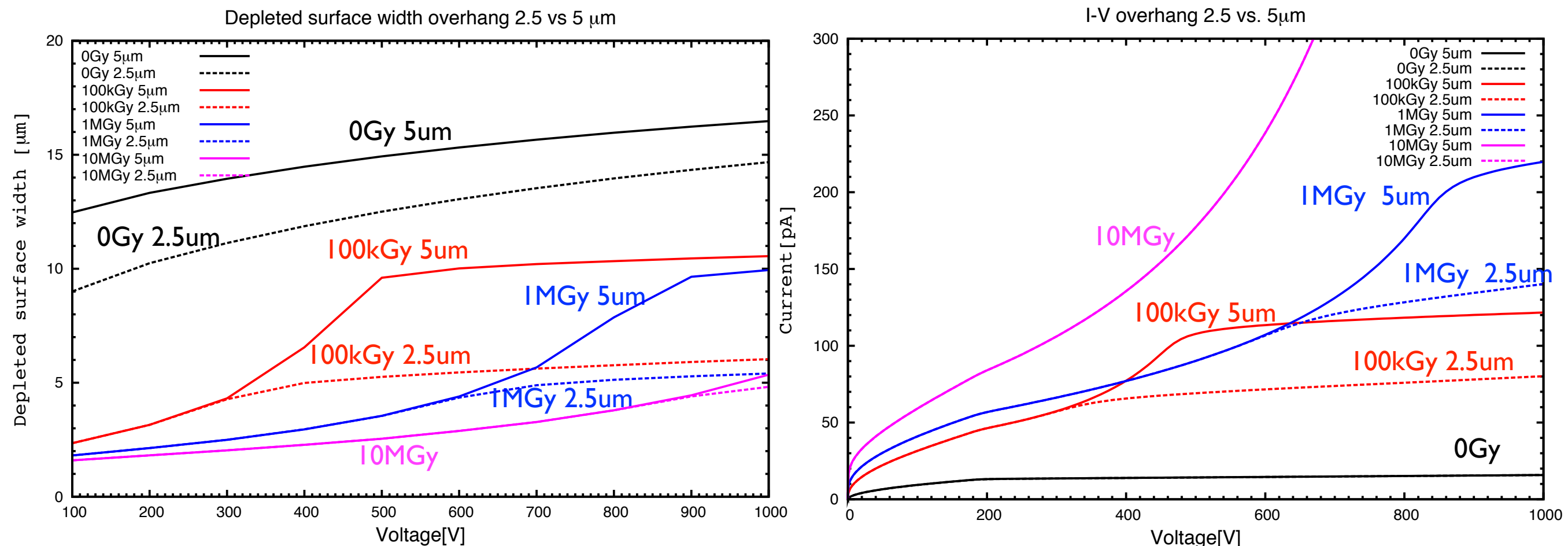
- Beispiel: Gap 20μm, Überhang 5μm, „junction depth 1.2μm“



- Durchbruch für 10MGy bei 494V
- Akkumulationsschicht verschwindet für unbestrahlten Sensor auch bei hohen Spannungen nicht.

Device-Simulation 2

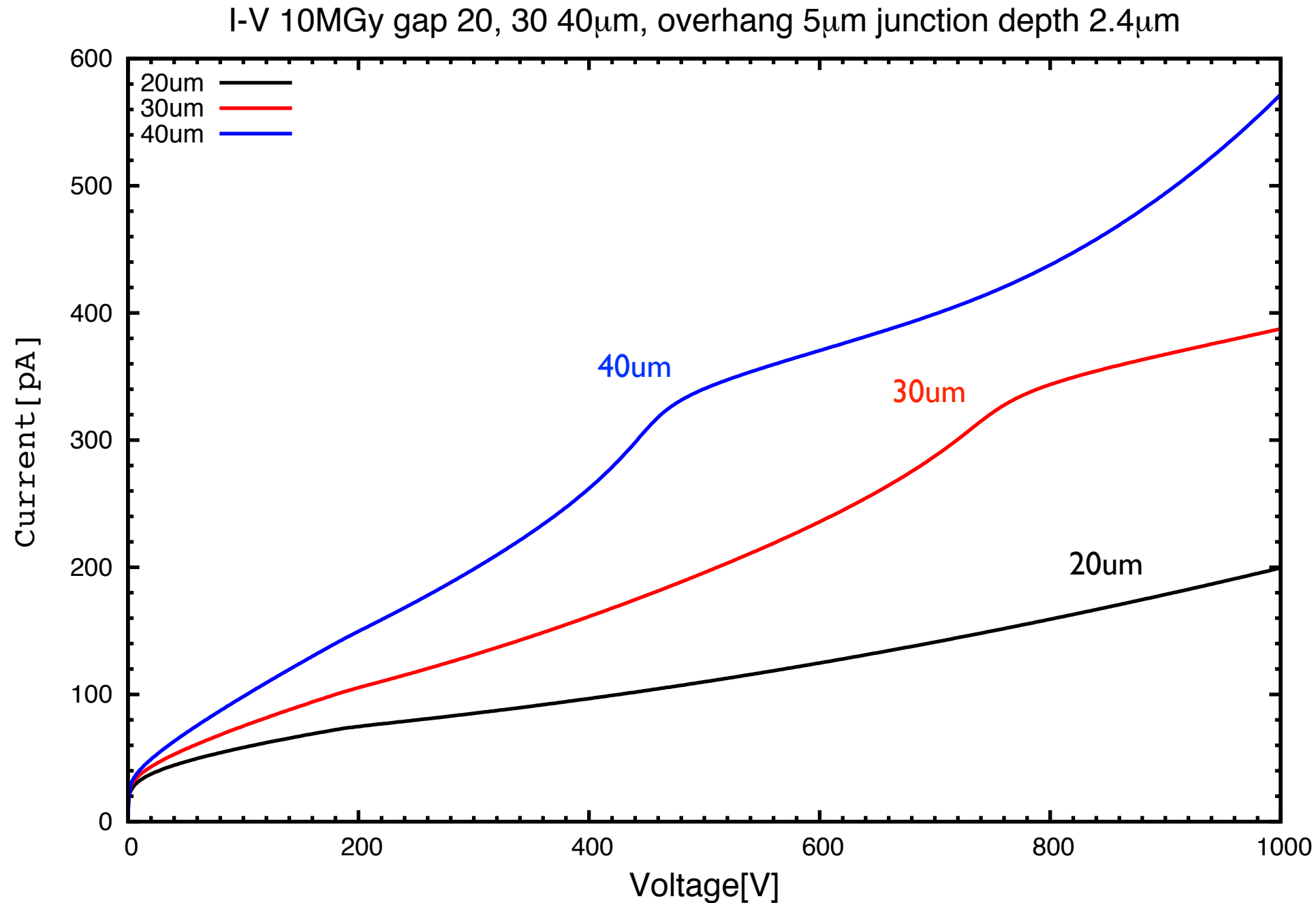
- Beispiel: Gap 20 μm , Überhang 2.5 vs. 5 μm , „junction depth“ 1.2 μm



- Bei hinreichend hoher Spannung liefert der kleinere Überhang weniger Strom
- Bei 10MGy gleiche Durchbruchspannung

Device-Simulation 3

- Beispiel: „junction depth“ $2.4\mu\text{m}$



- Durchbruchsspannung > 1000V

Zusammenfassung

- Es wurde gezeigt wie nützlich TCAD Simulationen fürs Verständnis, Sensoroptimierung und Sensordesign sind.
- Notwendig für korrekte Simulation von Durchbruchsspannung und Strom:
 - OxidladungsdichteVerteilung
 - Oberflächenrekombinationsgeschw.
 - Dotierungsprofile
- AGIPD-Sensor:
 - Durchbruchsspannung stark abhängig von der „junction depth“
 - „junction depth“ 1.2µm: Durchbruchsspannung zu niedrig
 - „junction depth“ > 2.3µm: Durchbruchsspannung nach 2D Simulation ok.
 - Entgültiges Sensordesign erst möglich wenn bekannt ist, welche „junction depth“ der Hersteller liefern kann.

Backups

- Commonly used technique for p+ junction formation: Ion Implantation

- Steps:

I. Implantation:

Simulations:

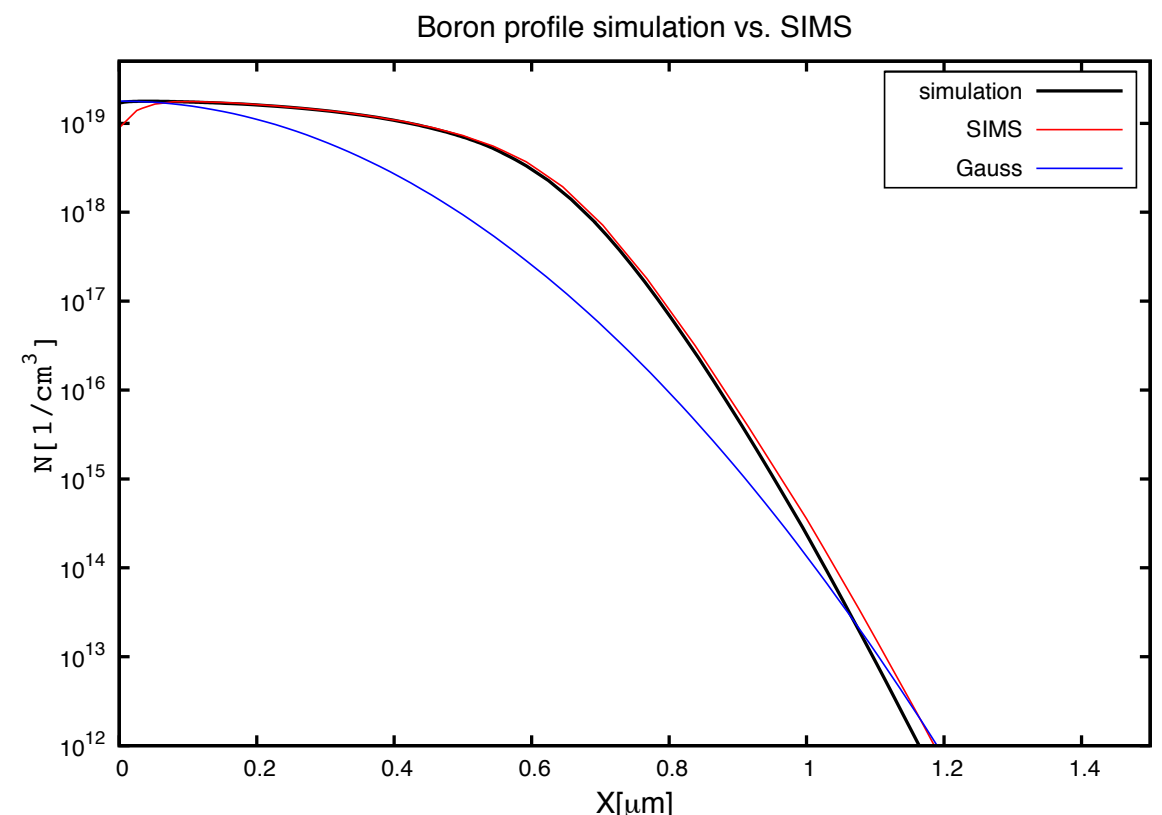
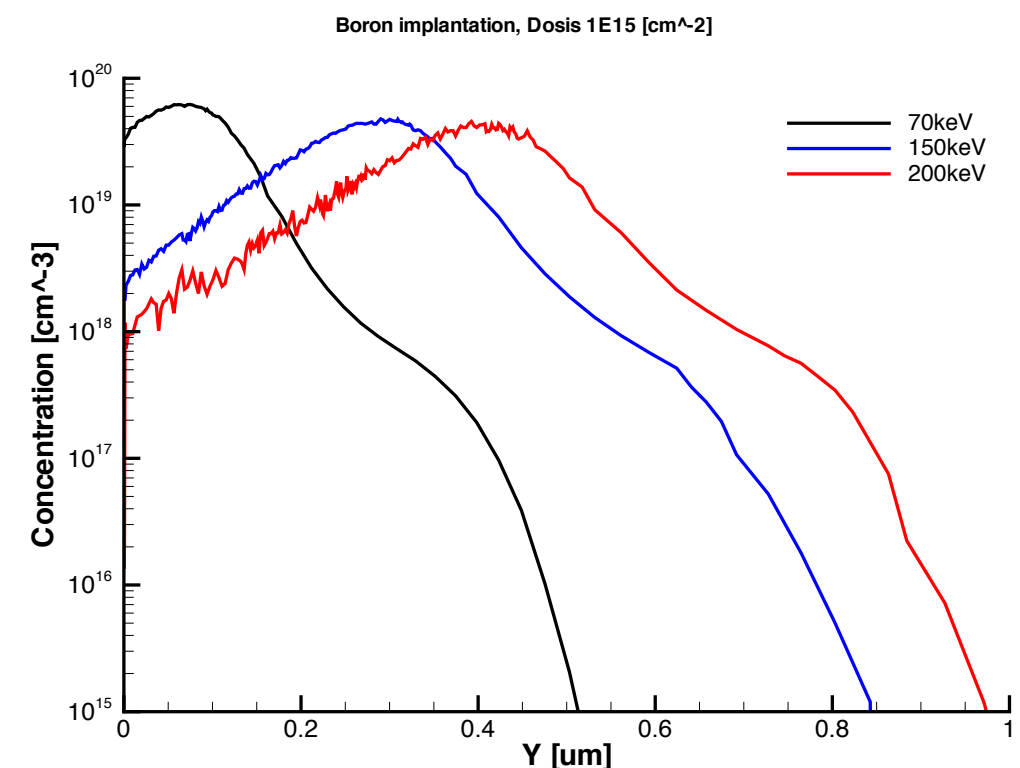
Wafer dop	P 1E12[cm^-3]
Orientation	(1 1 1)
Tilt angle	0°
Species	Boron
Dosis	1E15,5E15,1E16[cm^-2]
Energy	70,150,200keV

2. Drive in:

Simulations:

Temp.	975, 1025 °C
Time	same for both

- The simulation is calibrated with a SIMS measurement for the same process.



Process simulation 2

- Results: Standard process →

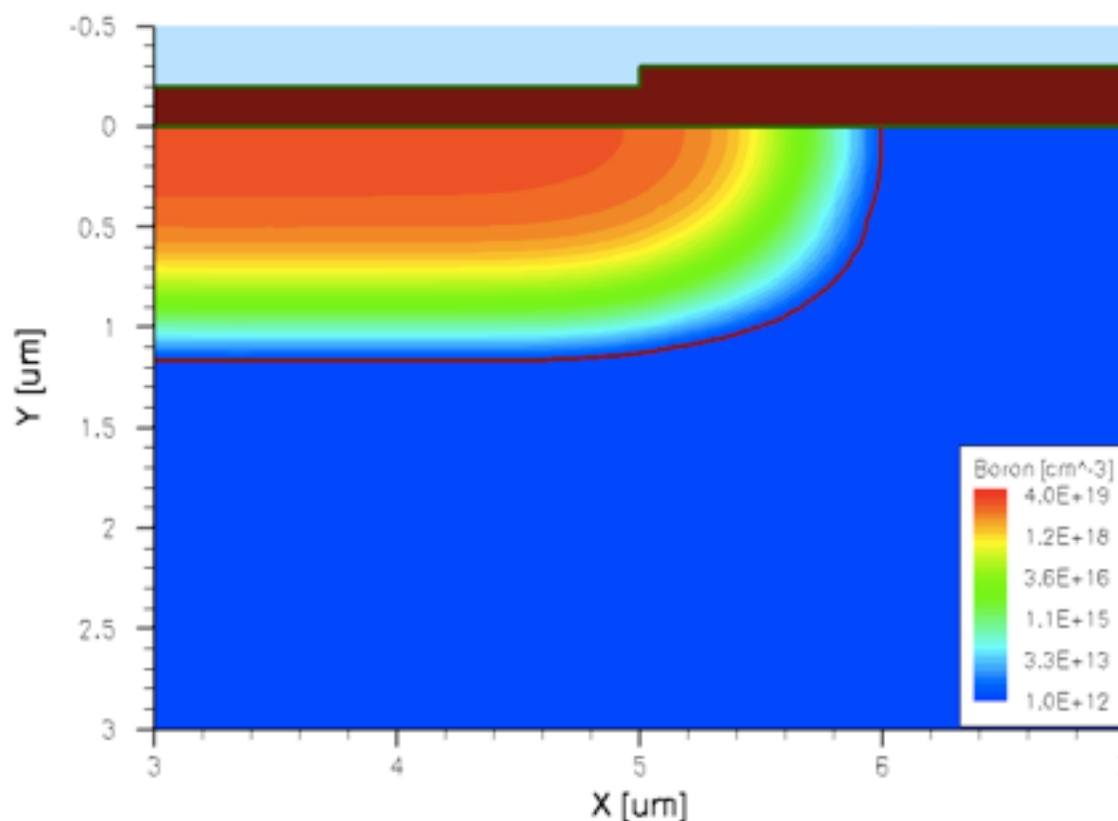
- Conclusion:

Junction depth up to 3um are possible with slightly increases temperature.

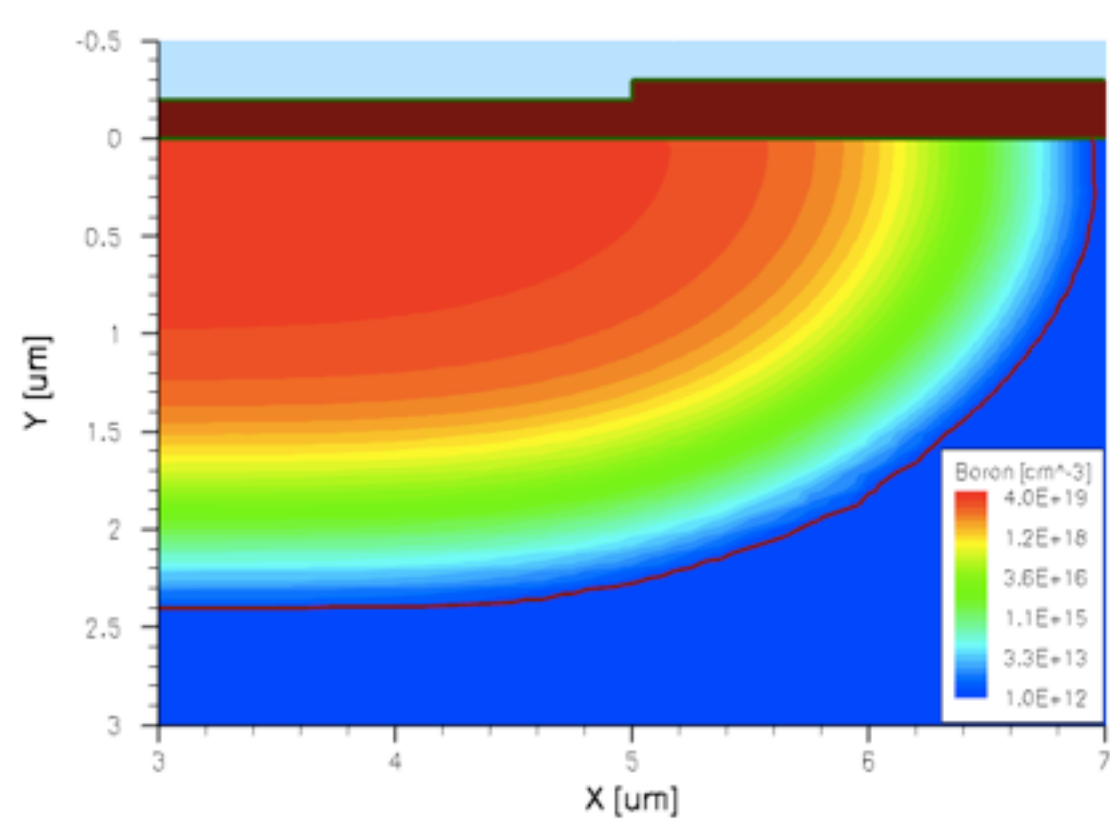
- In the following used profiles:

Dosis [cm ⁻²]	Energy [keV]	Temp. [C]	Junction depth [um]	lateral length [um]	Peak con[cm ⁻³]
1.00E+15	70	975	1.16	0.99	1.77E+19
5.00E+15	70	975	1.48	1.29	5.30E+19
1.00E+16	70	975	1.76	1.43	8.50E+19
1.00E+15	150	975	1.46	1.07	1.65E+19
5.00E+15	150	975	1.72	1.22	5.80E+19
1.00E+16	150	975	1.98	1.61	9.50E+19
1.00E+15	200	975	1.61	1.12	1.32E+19
5.00E+15	200	975	1.82	1.32	5.40E+19
1.00E+16	200	975	2.06	1.54	9.75E+19
1.00E+15	70	1025	1.92	1.71	1.27E+19
5.00E+15	70	1025	2.4	1.95	3.89E+19
1.00E+16	70	1025	2.75	2.35	6.12E+19
1.00E+15	150	1025	2.16	1.7	1.33E+19
5.00E+15	150	1025	2.57	2.16	4.30E+19
1.00E+16	150	1025	2.91	2.4	6.87E+19
1.00E+15	200	1025	2.28	1.75	1.18E+19
5.00E+15	200	1025	2.6	2.1	4.24E+19
1.00E+16	200	1025	2.97	2.35	6.81E+19

depth 1.2



depth 2.4



Device simulation

- Geometries:
- Oxide thickness: 300 nm

gap [um]	20	30	40
overhang [um]	0, 2.5, 5	5, 10	0, 2.5, 5, 10

- Used models:

- Drift-Diffusion
- Newton boundary conditions
- Temperature: T = 293K
- Statistics: Fermi
- Bandgap: Bandgap narrowing model
- Mobility: Doping dependent , High-field saturation, Carrier-Carrier Scattering, Degradation at interfaces
- SRH Recombination: Doping dependent (lifetime 1ms), Temperature dependent, Field enhancement
- Auger Recombination
- Hurkx Band-to-Band Tunnelling
- Avalanche Generation: van Overstraeten - de Man Model , Driving force: Gradient of the quasi-Fermi level
- Physics at the Si/SiO₂ interface:
 1. Fixed charge (measured values, homogenous distribution at interface)
 2. Surface SRH Recombination (measured values)

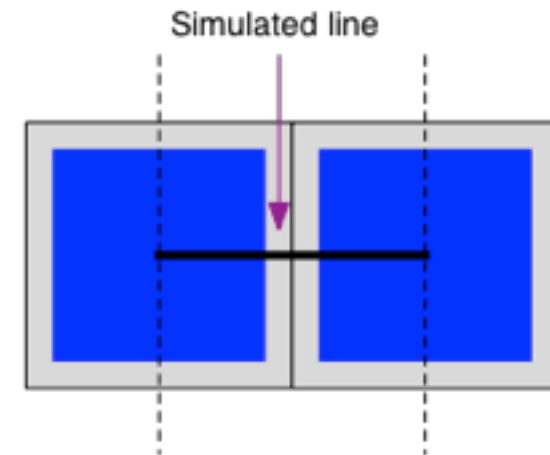
- Breakdown criteria: **Ionisation integral for electron or holes = 1**

$$I_p := \int_0^{W_d} \alpha_p \exp \left[- \int_0^x (\alpha_p - \alpha_n) dx' \right] dx \quad \begin{matrix} \alpha_p, \alpha_n & \text{ionization coefficients for hole and electron} \\ W_d & \text{width depleted region} \end{matrix}$$

Because the multiplication factor M_p satisfies $1 - \frac{1}{M_p} = I_p$

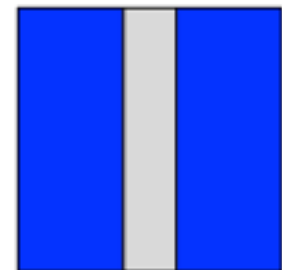
we have $M_p \rightarrow \infty$ for $I_p \rightarrow 1$

- Current:



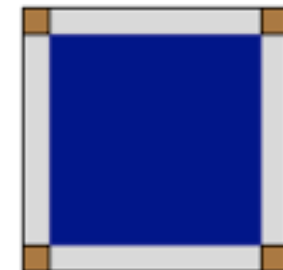
I_{um} in 3rd direction

Area factor 200



if surface current
is negligible

Area factor 2*200



if surface current is
dominant (brown
areas are counted
twice)

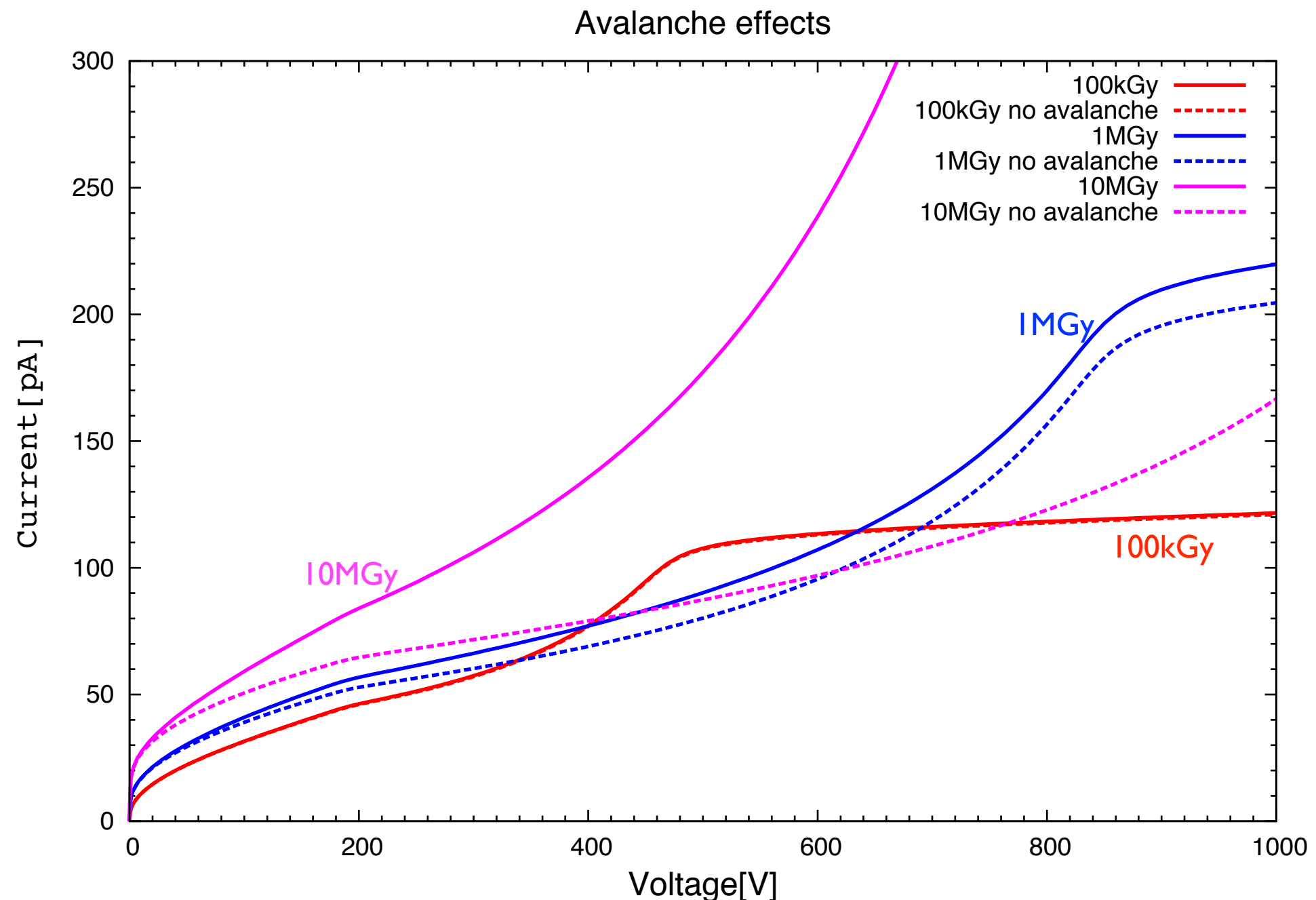
- Interpixel capacitance:

1. Analytical expression for pixel (Cerdeira et.al IEEE T Nucl Sci Vol. 44 No 1 pp.63)
2. Analytical expression for strip (Cattaneo Solid State Elec. Vol 54(3) pp. 252)

3. Assumption:

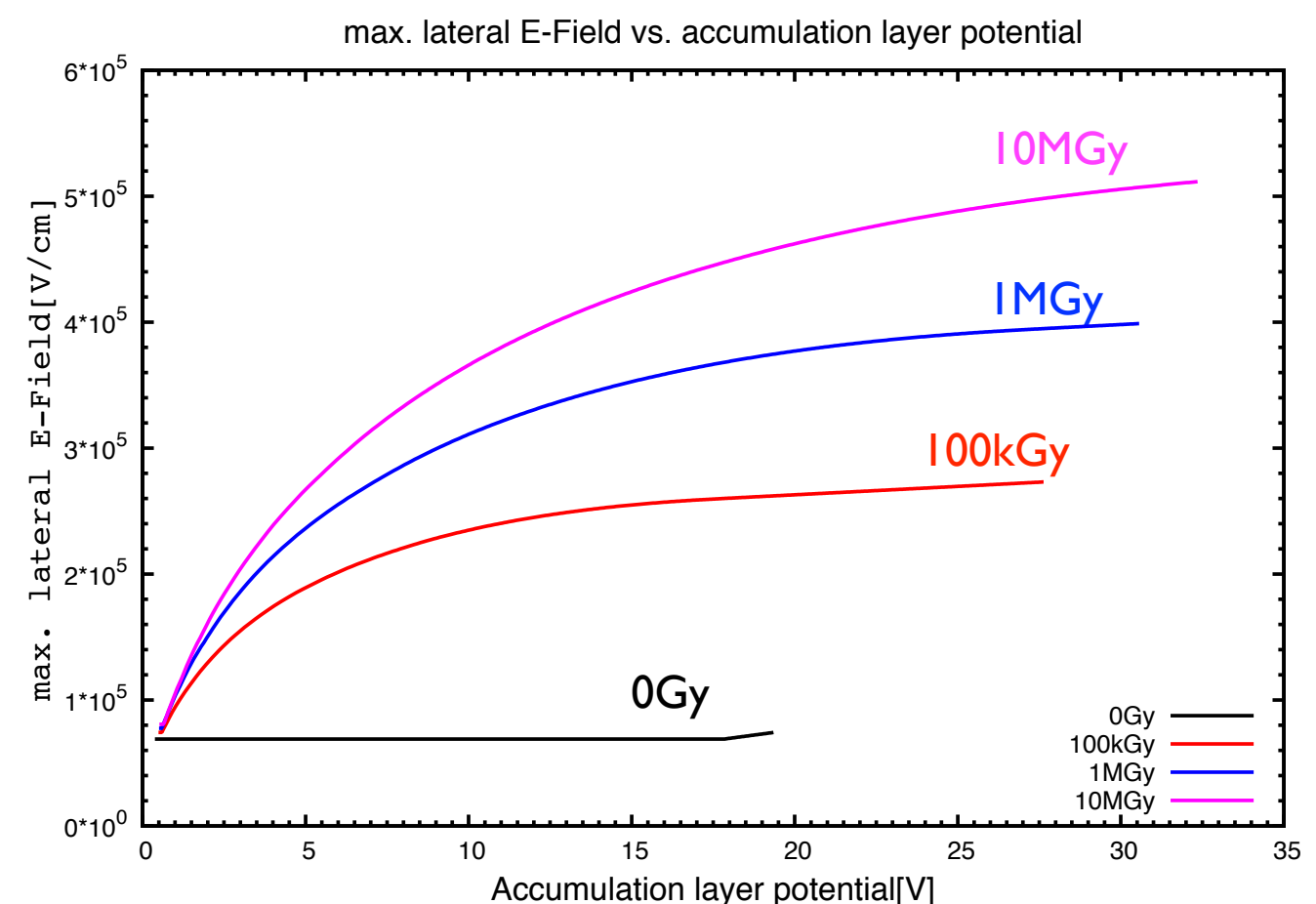
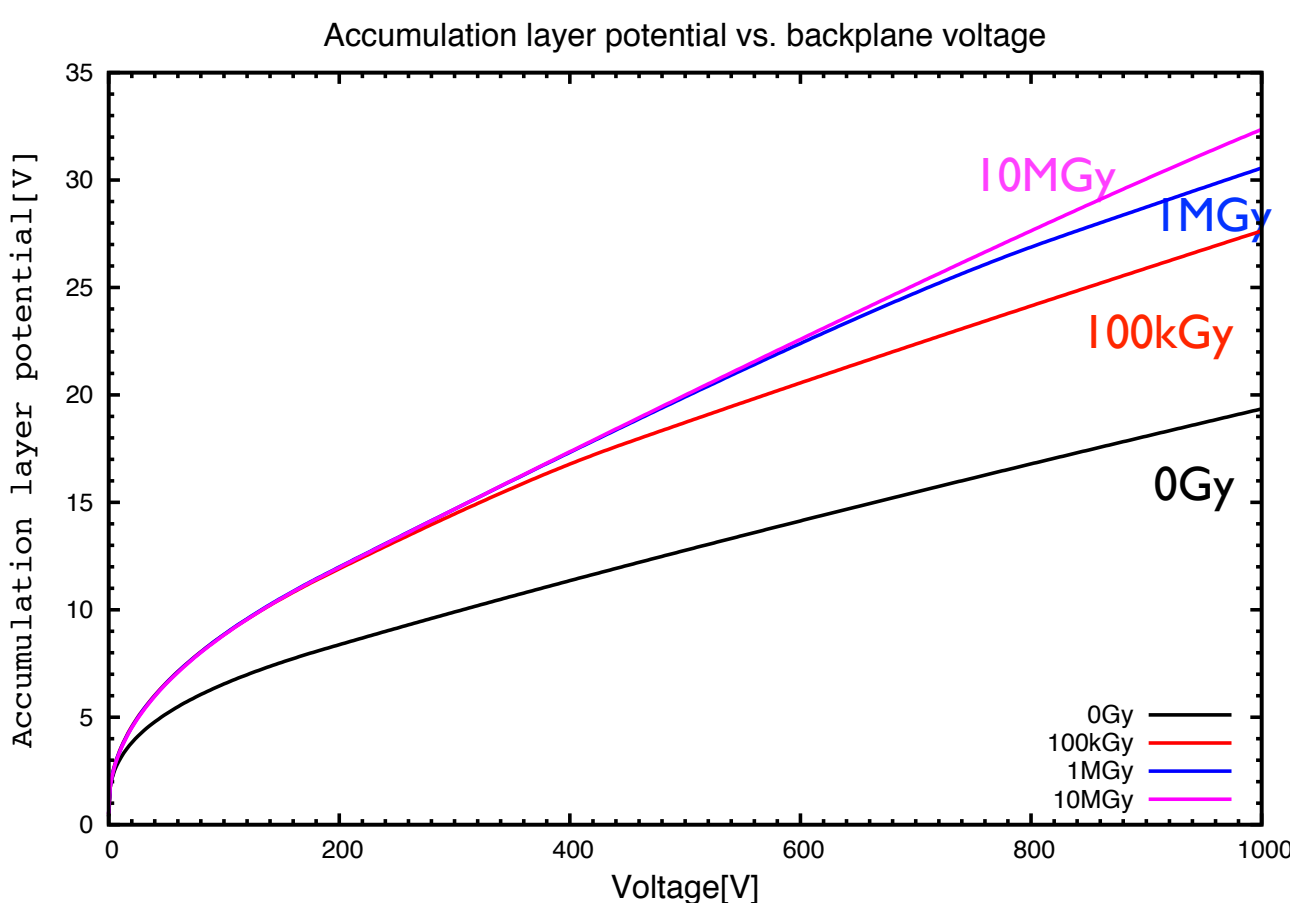
$$\frac{C_{int,Sim}^{Pix}}{C_{int,theo}^{Pix}} = \frac{C_{int,Sim}^{Str}}{C_{int,theo}^{Str}}$$

- Gap 20um, overhang 5um, junction depth 1.2um
- Simulation with and without avalanche



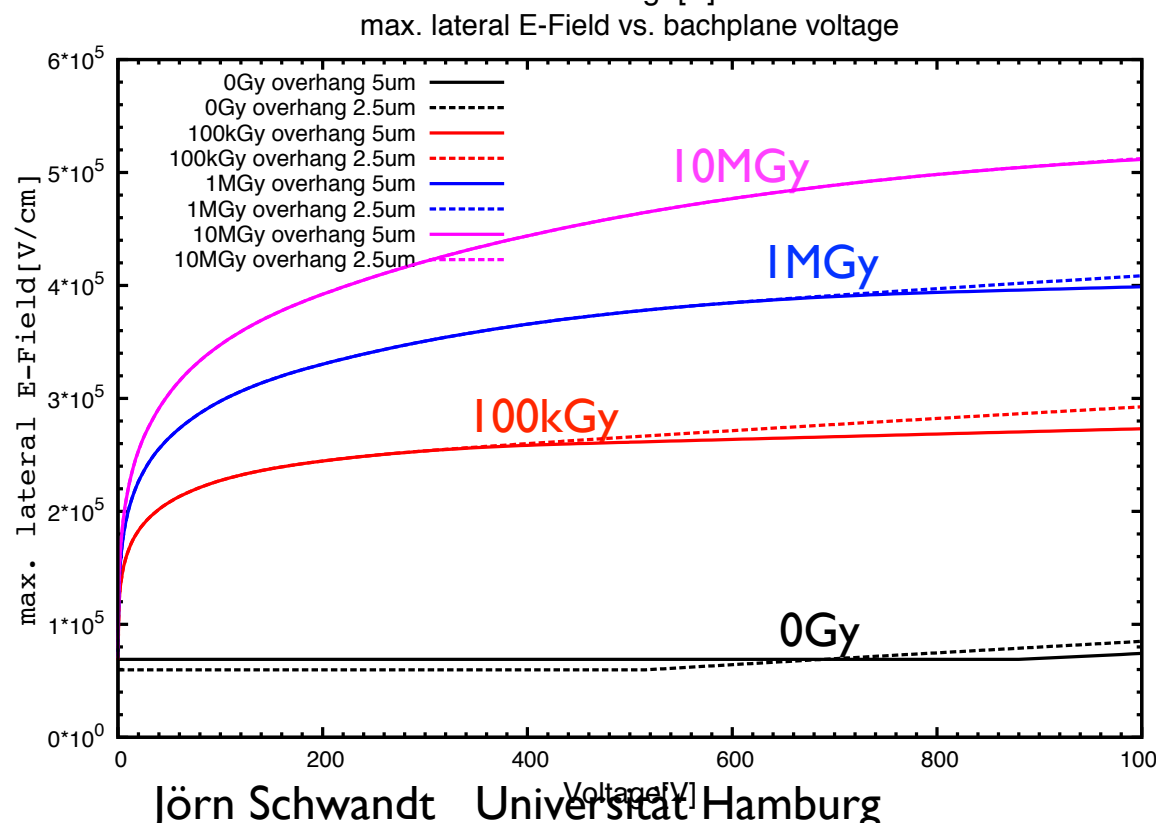
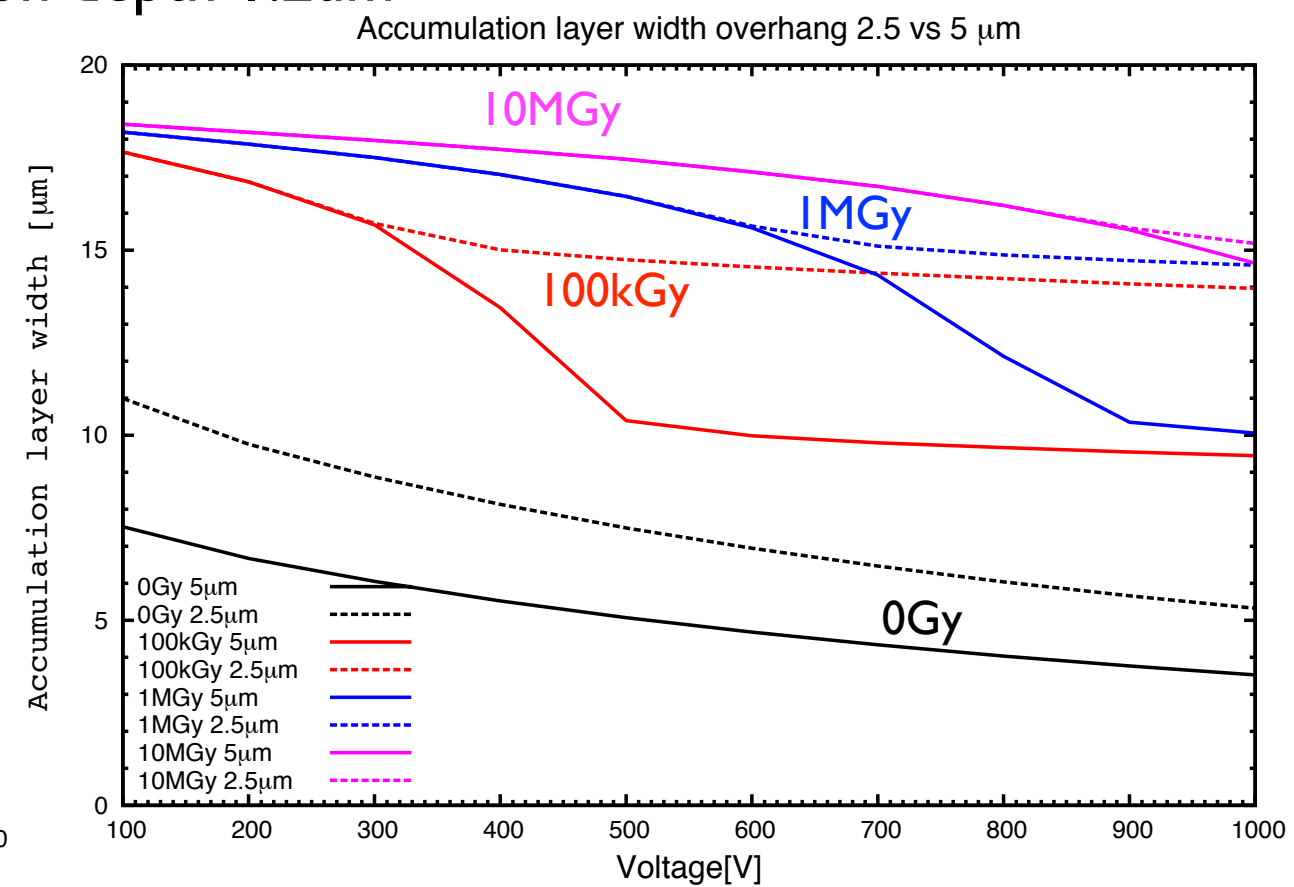
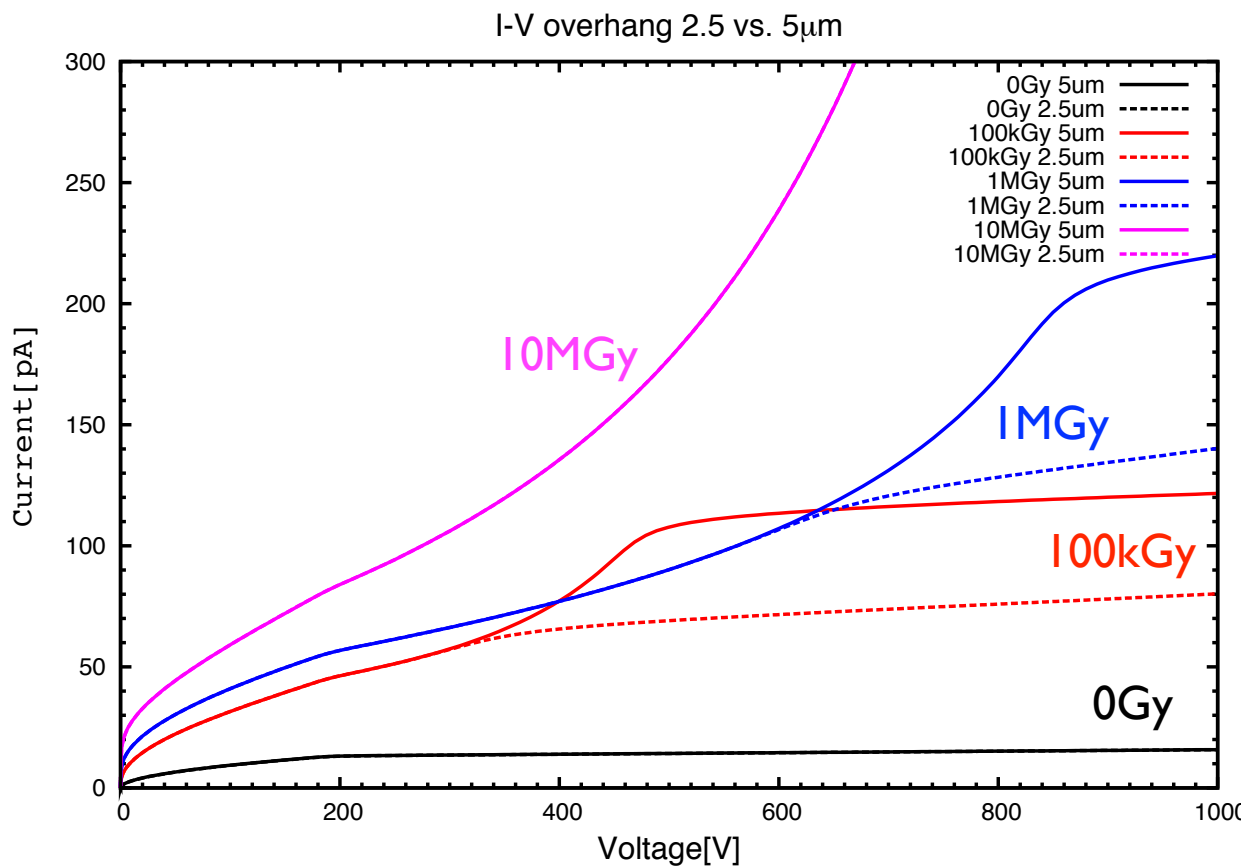
- 100kGy no contribution of impact ionisation

- Gap 20um, overhang 5um, junction depth 1.2um



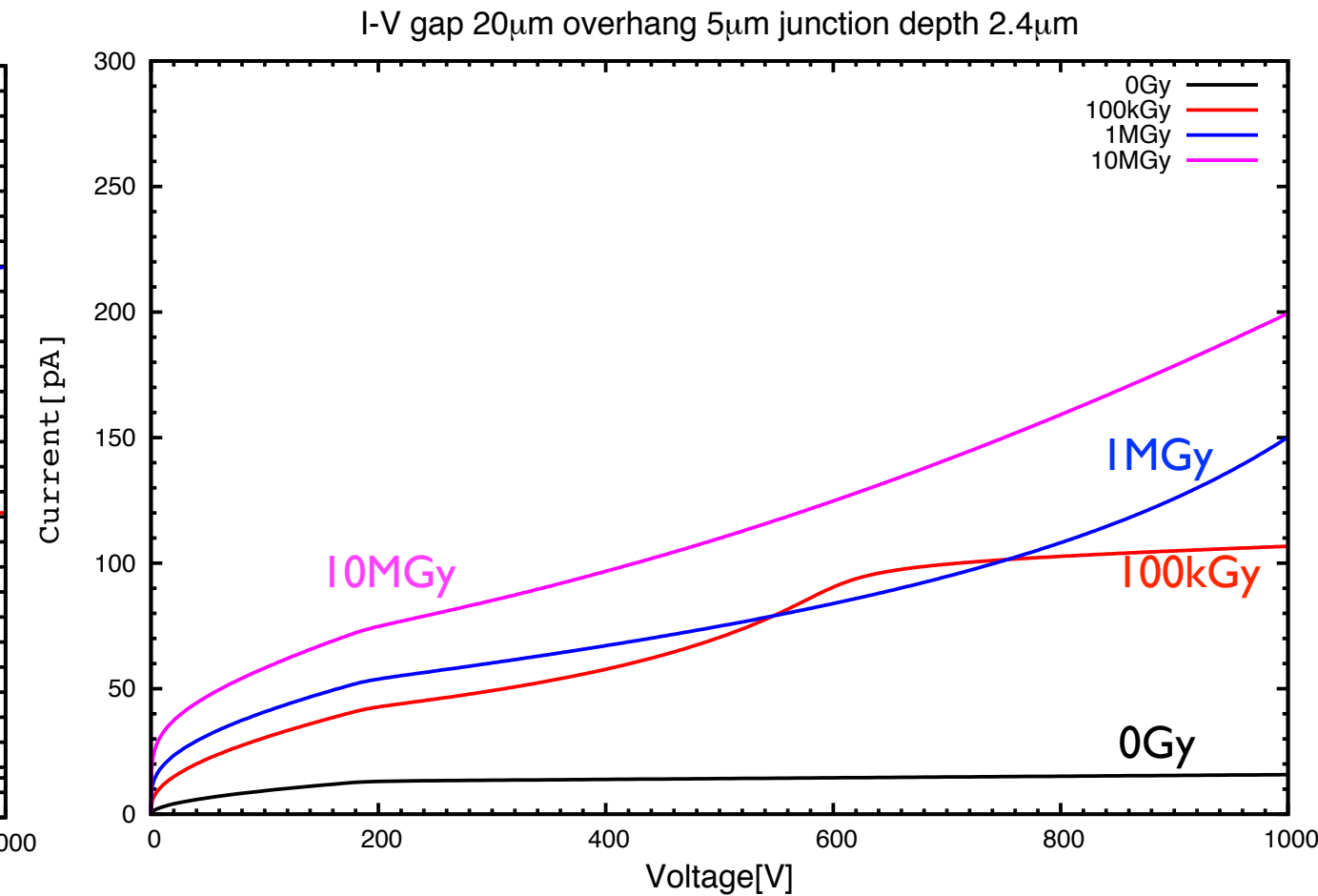
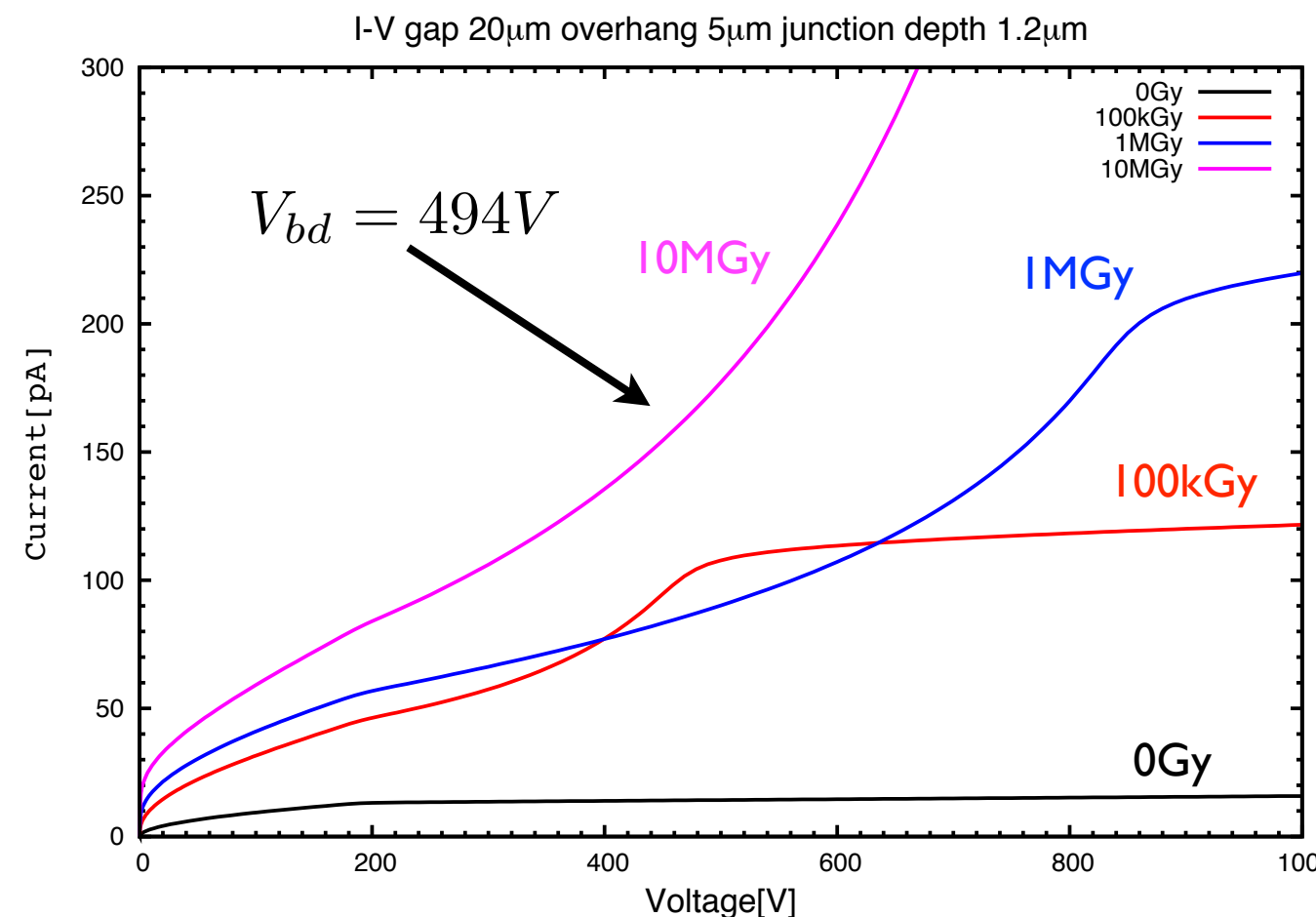
- Up to 300V the accumulation layer potential is the same for 1kGy, 1MGy and 10MGy

- Gap 20um, overhang 2.5 vs. 5um, junction depth 1.2um



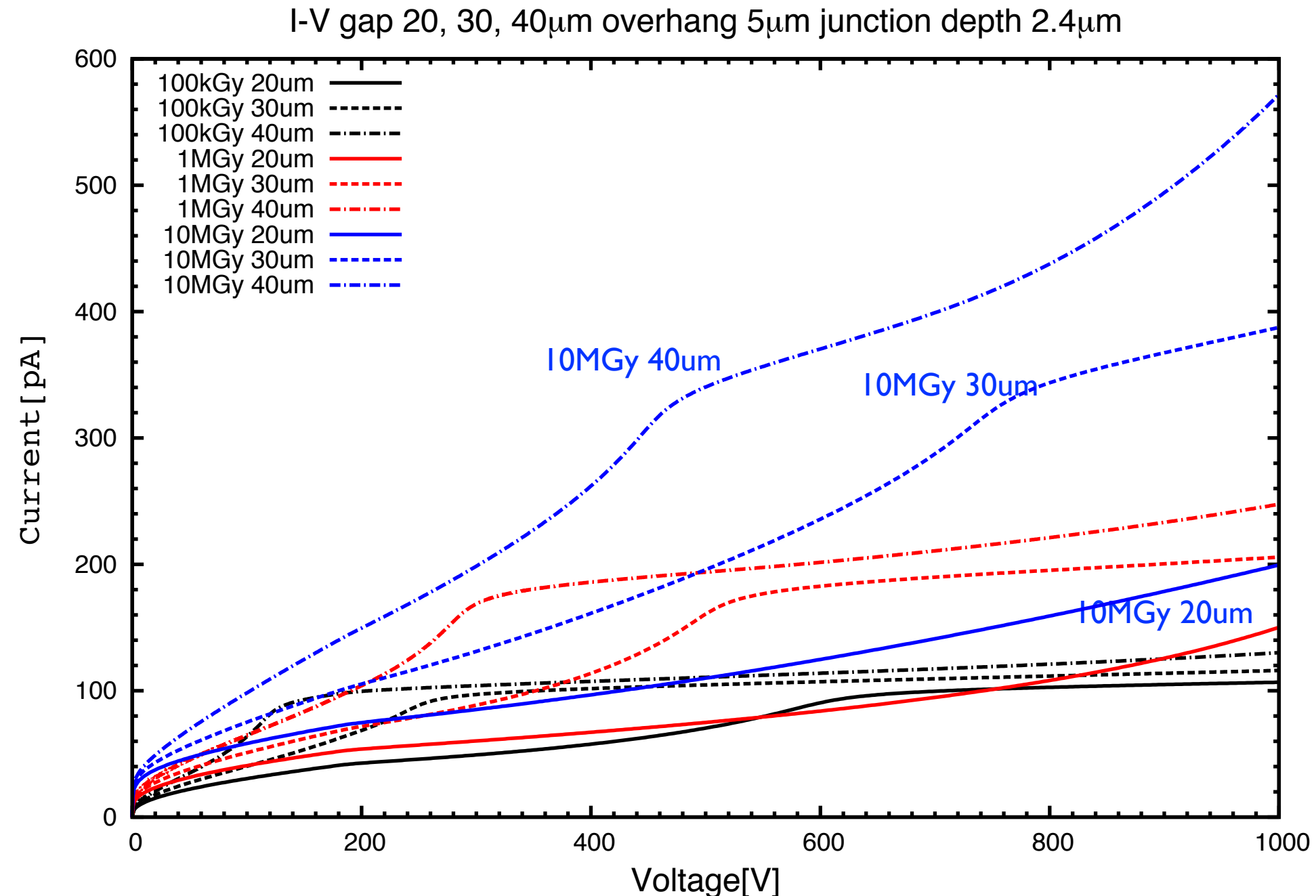
- For sufficient high voltage the smaller gap develops a smaller current.
- For 10MGy same breakdown voltage.
- Similar max. lat. E-Field.

- Gap 20um, overhang 5um , junction depth 1.2um vs. 2.4um



- The deeper junction shows for the 10MGy case no breakdown up 1000V and for 1kGy and 1MGy a slightly smaller current.

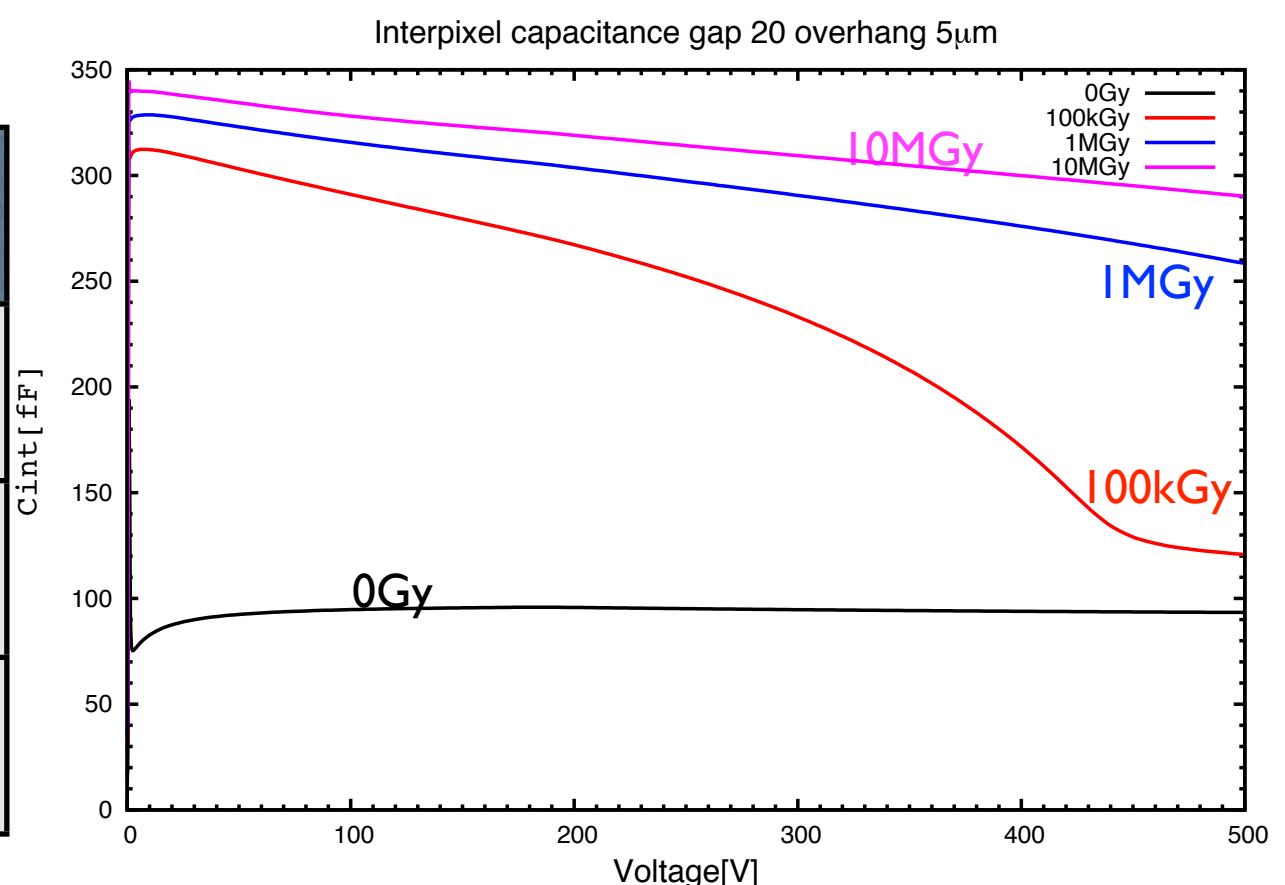
- Junction depth 2.4 μ m



- No breakdown up to 1000V
- Keep in mind: diagonal of pixel is $\sqrt{2} \times$ gap

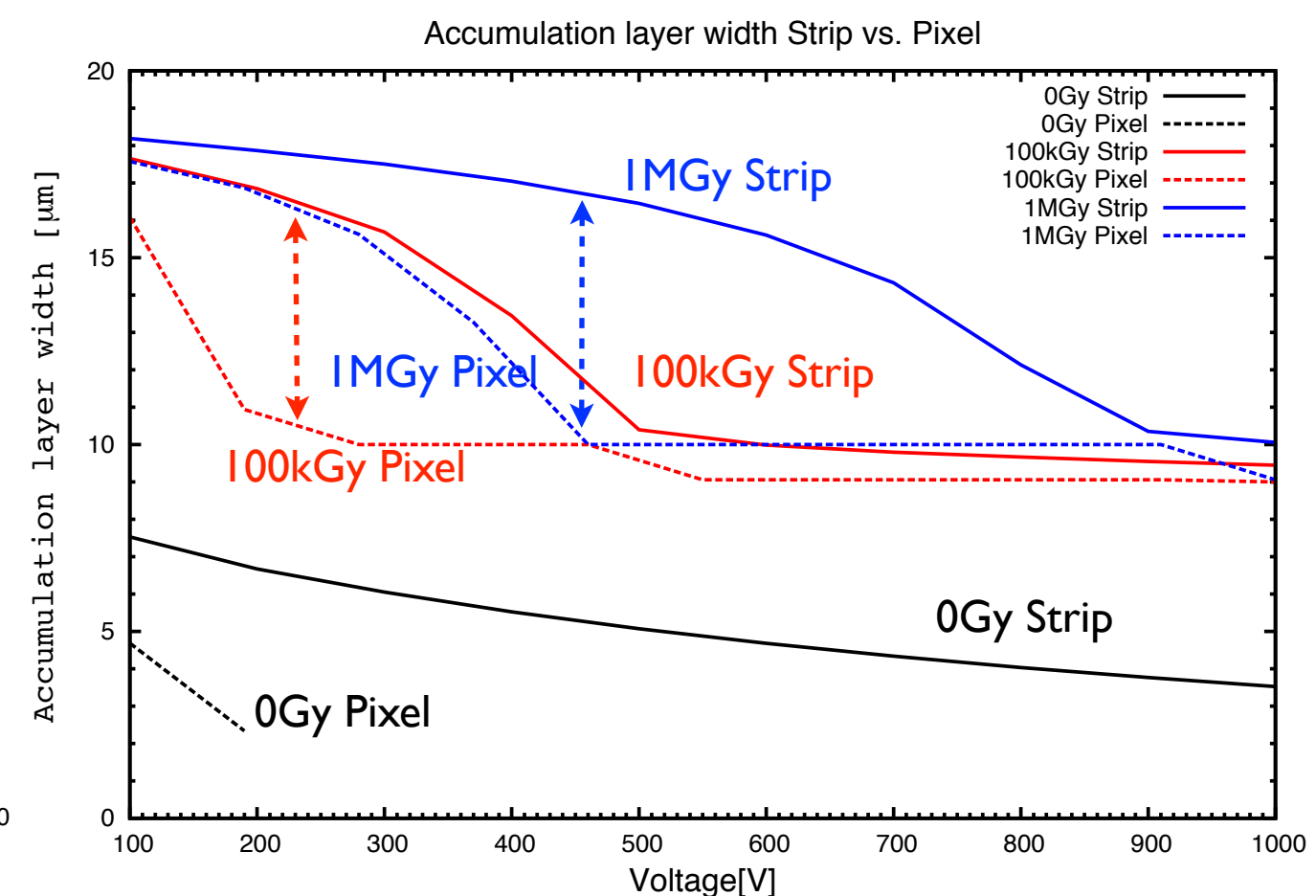
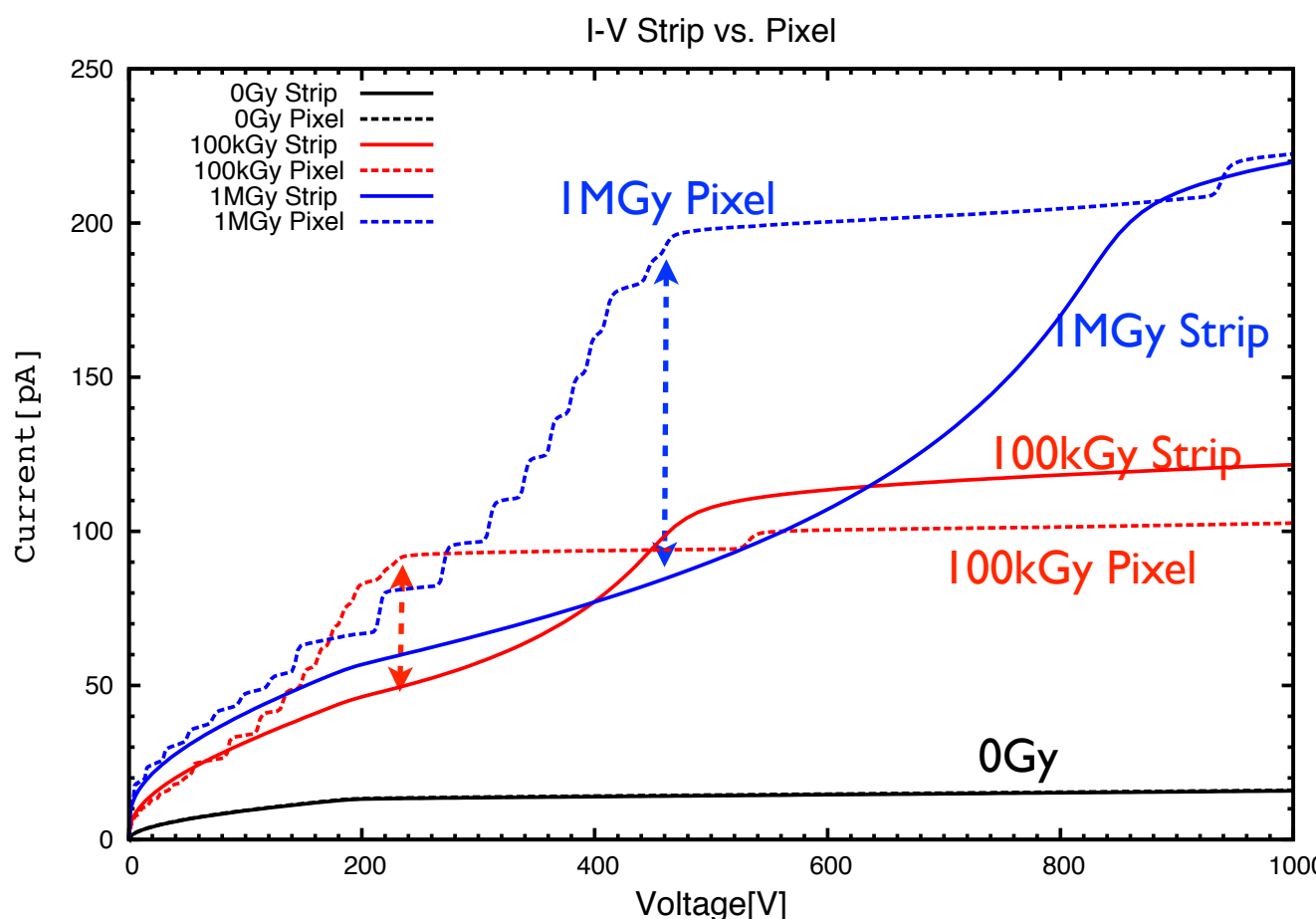
- Capacitance simulations: 100kHz, junction depth 1.2um
- $V_{fd} = 188 - 194V$ compared to 193V for pad sensor and dop. 1E12
- $C_b = 8.5 - 8.56fF$ compared to 8.43fF for pad sensor
- C_{int} for 5um overhang:

Gap	Dosis	$C_{int}[fF]$ at V_{fd}	$C_{int}[fF]$ at 500V
20um	0Gy	96	93
	1MGy	305	259
30um	0Gy	73	71
	1MGy	117	92
40um	0Gy	59	56
	1MGy	163	82



- Decrease of interpixel capacitance with voltage due to accumulation layer

- First results of 3D Pixel simulation
- Quarter of full Pixel with gap 20um and overhang 5um simulated
- Gaussian doping profile with junction depth 1.5um



- 0Gy Pixel: Accumulation layer only around the diagonal for higher voltages
 - Irradiated: Different behavior of surface depletion for pixel and strip
- Scaling of current from strip to pixel difficult